

4. Поскольку проверка адекватности принятой модели показала её полную работоспособность, в дальнейшем целесообразно провести апробацию данной модели для расчёта процесса регенерации.

### Литература

1. Очистка технологических газов / Под ред. Т.А. Семеновой и И.Л. Лейтеса. – М.: Химия, 1977. – 488 с.
2. Рамм В.М. Абсорбция газов. — М.: Химия, 1976. — 654 с.
3. Исследование физико-химических свойств модифицированного МДЭА-абсорбента для тонкой очистки синтез-газа от диоксида углерода в производстве аммиака / И.Л. Лейтес, А.К. Аветисов, Н.В. Язвикова и др. – М.: ФГУП «НИФХИ им. Л.Я. Карпова», 2012.
4. Очистка промышленных выбросов и утилизация отходов. Сборник научных трудов. Л., 1985.
5. Дильман В.В., Соколов В.В., Кулов Н.Н., Юдина Л.А. Опыт разработки и эксплуатации интенсивного абсорбера очистки технологического газа от диоксида углерода // Теоретические основы химической технологии. 2012. Т. 46. № 1. С. 3.
6. The Chemical Journal / Химический журнал / Химический саммит: курс на энергоэффективность; №4 (Апрель 2010)

### **Расчет эффективности улавливания капель в осевых центробежных сепараторах с лопастными завихрителями**

к.т.н. доц. Жихарев А.С., Черепанова О.А.  
Университет машиностроения  
+7 (499) 267-10-13

**Аннотация.** Произведенные измерения показали, что при расчете эффективности сепарации дисперсной фазы в осевых центробежных сепараторах с лопастными завихрителями требуется учитывать действие трех факторов: осаждения под действием силы инерции, турбулентной диффузии и перемещения частиц под действием ненулевой радиальной составляющей осредненной скорости потока. В случае мелких частиц можно рассматривать индивидуальное влияние каждого из отмеченных факторов. Эффективность улавливания зависит главным образом от величины концентрации тонкодисперсных частиц и скорости их осаждения в приостанной области. Каждой выбранной конструкции сепаратора соответствует индивидуальный диапазон устойчивой работы, при котором достигается минимальная величина уноса.

**Ключевые слова:** Центробежный, сепаратор, лопастной завихритель, турбулентная диффузия, силы инерции, концентрация, дисперсная фаза, унос жидкости, пристенная зона, скорость газа.

Выбор конструкции центробежного сепаратора определяется, прежде всего, величиной уноса, допустимой в каждом конкретном случае работы технологического оборудования. Разработка новых конструкций и внедрение центробежных сепараторов в промышленность сдерживается сложностью гидродинамического расчета и расчета эффективности сепарации на стадии их проектирования.

Исследования гидродинамики закрученных газовых потоков проводили на экспериментальной установке, основным узлом которой был центробежный сепаратор со сменными лопастными завихрителями [1, 2]. Сепаратор имел диаметр сепарационной зоны 200 мм и был выполнен по схеме аппарата с нижним центральным вводом газокапельной смеси, нижней зоной слива уловленной жидкости и верхним выхлопным патрубком. На нижнем централь-

ном входе устанавливались сменные лопастные завихрители: один аксиально-тангенциального типа (АТ-75) с углом наклона лопасти к перпендикулярному сечению аппарата, равным  $\alpha=75^\circ$ , и диаметром входа газа DBX=100 мм и второй аксиального типа (А-60) с углом наклона лопасти к оси цилиндрического канала  $\alpha=60^\circ$  и диаметром входа газа DBX=150 мм. Скорость газа во входном патрубке изменялась в пределах от 5 до 52 м/с.

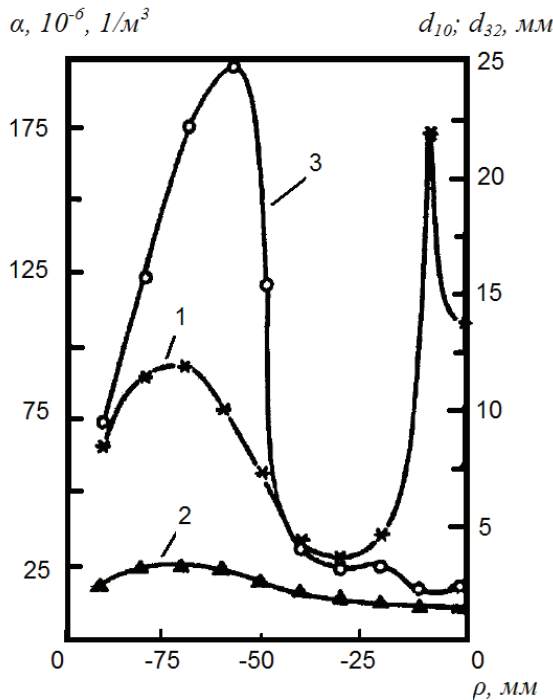
В рамках предложенной модели сепарации частиц [2] эффективность их улавливания определяется величиной потока на стенку аппарата  $J_w$ , который может быть определен для каждого диаметра частиц по уравнению:

$$J_w \approx \int_a^r (V_{\rho_{oc}} + D_f \frac{\partial(\ln \alpha)}{\partial \rho}) \rho d\rho / \int_0^r \frac{\rho^2}{\alpha R} d\rho, \text{ при } r \rightarrow R. \quad (1)$$

В уравнение (1) наибольший вклад вносят значения концентрации в пристенной области. На малых расстояниях от стенки аппарата влиянием диффузии можно пренебречь по сравнению с интенсивностью осаждения, и уравнение (1) приближенно может быть записано в виде:

$$J_w \approx \frac{3}{2} (V_{\rho_{oc}} \alpha)_w, \quad (2)$$

где величины скорости осаждения и концентрации частиц взяты для пристенной зоны. Эффективность улавливания дисперсной фазы растет пропорционально квадрату тангенциальной составляющей скорости газа в пристенной зоне.



**Рисунок 1. Изменение концентрации  $\alpha$  среднеарифметического  $d_{10}$  и объемно-поверхностного  $d_{32}$  диаметров капель по радиусу сепаратора АТ-75 (соответственно кривые 1-3)**

Величину уноса  $\omega$  жидкой дисперсной фазы из циклонного сепаратора определяли экспериментально по концентрации растворенной соли  $\text{Na}_3\text{P}_0_4$ , накопившейся в барботер-соленакопителе за время одного опыта. Конечную концентрацию соли измеряли с помощью спектрофотометра "TECATOR" – прибора, предназначенного для определения концентрации фосфат-иона в водных растворах в пределах от 0,1 до 1,0 мг/л раствора [1, 2].

Для сепараторов с завихрителями АТ-75 и А-60 зависимость уноса капель от скорости

#### Серия 4. Химическое машиностроение и инженерная экология

ввода имеет две ярко выраженные области. В первой области с увеличением  $W_{\text{вв}}$  наблюдается снижение величины уноса [1]. Данный факт, по-видимому, объясняется увеличением скорости осаждения частиц дисперсной фазы  $V_{\text{рос}}$  в пристенной области (1), которая растет пропорционально скорости ввода потока в аппарат во второй степени. Концентрация же частиц дисперсной фазы в пристенной области с ростом  $W_{\text{вв}}$  в соответствии с рис.1, на участке падения уноса должна уменьшаться. При достижении некоторого критического значения  $W_{\text{вв}}$  наблюдается резкое возрастание величины уноса, вызванное срывом капель жидкости с поверхности пленки жидкости, находящейся на стенках циклона. Для первой области характерен постоянный слив избытка жидкости из вращающегося на внутренней поверхности корпуса жидкостного кольца в нижнюю часть центробежного сепаратора. По мере накопления жидкости в кольце оно спускается ниже к завихрителю, увеличиваясь в размере. Этот режим обеспечивают наибольшую эффективность разделения газожидкостной смеси.

Для второй области зависимости  $\omega=f(W_{\text{вв}})$  характерен пульсационный режим образования жидкостного кольца, срыв капель с его поверхности и резкое возрастание уноса. Значение критической скорости ввода газа для А-60 составляет 14 м/с и для АТ-75 – 41 м/с. Увеличение скорости ввода выше критических  $W_{\text{вв}}$  влечет за собой отвод жидкости из сепаратора в верхний патрубок в виде восходящих спиральных струй, поднимающихся по стенке аппарата.

Уравнение (1) было использовано для расчета эффективности улавливания капель в осевом сепараторе с лопастным завихрителем АТ-75. Эффективность улавливания определялась величиной потока капель на стенки сепаратора и концентрацией капель в очищенном газе. При расчетах использованы полученные экспериментальные данные (рисунок 1).

Начальное содержание капель в газе перед сепаратором составляло  $qH=0,04$  кгж/кг г. Изменение концентрации капель в газе, зависит от текущего радиуса. На участке  $r=(0 \text{--} 0,4)R$  принято  $\alpha=\alpha_n$ . В пристенной зоне сепаратора при  $r=(0,4 \text{--} 1,0)R$  концентрация капель в газе увеличивается (рисунок 1). Расчет по уравнению (1) проводился численным методом. При этом использовались следующие соотношения:

$$\alpha_n = q_n \frac{\rho''}{\rho'} \quad (3)$$

где  $\alpha_n$  – начальная концентрация капель жидкости в газе,  $\text{м}^3/\text{м}^3$ .

$$I_n = \frac{V'' \alpha_n}{F_3 3600}, \quad (4)$$

где  $I_n$  – начальный поток капель через лопастной завихритель,  $\text{м}^3/\text{м}^2\text{с}$ ;

$V''$  – расход газа,  $\text{м}^3$ ;

$F_3$  – боковая поверхность конического лопастного завихрителя,  $\text{м}^2$ .

Поток неуловленных в сепараторе капель, отнесенный к боковой поверхности лопастного завихрителя:

$$I_\omega = I_w - I_n \quad (5)$$

Концентрация капель в отводимом из сепаратора газе:

$$\alpha_\omega = I_\omega / W_3'' \quad (6)$$

$W_3''$  – скорость газа на выходе из лопастного завихрителя,  $\text{м/с}$ .

В качестве расчетного диаметра капель принимался среднемассовый диаметр  $d_{50}$  входе в лопастной завихритель. Результаты расчетов приведены в табл. 1.

Произведенные измерения показали, что при расчете эффективности сепарации дисперсной фазы в осевых центробежных сепараторах с лопастными завихрителями требуется учитывать действие трех факторов: осаждения под действием силы инерции, турбулентной диффузии и перемещения частиц под действием ненулевой радиальной составляющей ос-

#### Серия 4. Химическое машиностроение и инженерная экология

редненной скорости потока. В случае мелких частиц можно рассматривать индивидуальное влияние каждого из отмеченных факторов. Эффективность улавливания зависит главным образом от величины концентрации тонкодисперсных частиц и скорости их осаждения в пристенной области. Каждой выбранной конструкции сепаратора соответствует индивидуальный диапазон устойчивой работы, при котором достигается минимальная величина уноса.

Концентрация дисперсной фазы в пристенной зоне определяется целым рядом факторов, в том числе и конструкцией завихрителя осевого центробежного сепаратора. Концентрация частиц дисперсной фазы при расчете эффективности улавливания может быть найдена либо экспериментально, либо путем численного решения задачи о движении закрученного взвесенесущего турбулентного потока в центробежном осевом сепараторе. В последнем случае могут быть получены теоретические зависимости величины уноса от расхода газа через аппарат и нагрузки по улавливаемой дисперсной фазе.

Таблица 1

Скорость газа в завихрителе, $W_3''$ , м/с	Начальная концентрация капель в газе, $a_h$ , $\text{м}^3/\text{м}^3$	Диаметр капель на входе в сепаратор, $d_{50}$ , м	Окружная компонента скорости газа, $U_\phi$ , м/с	Начальный поток капель в завихрителе, $I_h$ , $\text{м}^3/\text{м}^2\text{с}$	Поток капель на стенки сепаратора, $I_w$ , $\text{м}^3/\text{м}^2\text{с}$	Поток капель, уносимых из сепаратора, $I_\omega$ , $\text{м}^3/\text{м}^2\text{с}$	Концентрация капель в газе на выходе из сепаратора, $a_\omega$ , $\text{м}^3/\text{м}^3$
1,53	$4,8 \cdot 10^{-5}$	$(27 \div 30) \cdot 10^{-6}$	5,1	$7,3 \cdot 10^{-5}$	$7,12 \cdot 10^{-5}$	$1,25 \cdot 10^{-5}$	$8,2 \cdot 10^{-6}$
2,62			6,97	$1,26 \cdot 10^{-4}$	$1,11 \cdot 10^{-4}$	$1,44 \cdot 10^{-5}$	$5,5 \cdot 10^{-6}$
3,92			11,87	$1,83 \cdot 10^{-4}$	$1,65 \cdot 10^{-4}$	$2,1 \cdot 10^{-5}$	$5,0 \cdot 10^{-6}$
5,67			16,86	$2,7 \cdot 10^{-4}$	$2,6 \cdot 10^{-4}$	$1,2 \cdot 10^{-5}$	$3,7 \cdot 10^{-6}$
7,21			20,1	$3,45 \cdot 10^{-4}$	$3,22 \cdot 10^{-4}$	$2,3 \cdot 10^{-5}$	$3,2 \cdot 10^{-6}$

#### Литература

1. В.В.Казаков, А.А. Костомахин, А.С. Жихарев, А.М. Кутепов //Теоретические основы химической технологии, 1993. Т.27. № 1. С.69
2. В.В. Казаков, С.Н. Поляков, А.А.Костомахин, А.С.Жихарев //Хим.пром. 1994. №8. С.33

### **Роль хрома в коррозионно-электрохимическом поведении углеродистых сталей**

д.х.н. с.н.с. Реформатская И.И., д.х.н. Подобаев А.Н., Шишлов Д.С., Чибышева В.Д., к.х.н. Артамонов О.Ю.

Научно-исследовательский физико-химический институт им. Л.Я. Карпова,  
Университет машиностроения  
*reformir@yandex.ru*

**Аннотация.** В нейтральных ( $\text{pH}=7,55$ ) и слабощелочных ( $\text{pH}=8,74$ ) хлоридсодержащих растворах исследовано коррозионно-электрохимическое поведение модельных углеродистых сталей, содержащих до 1,05 % Cr. Показано, что введение хрома в углеродистые стали затрудняет их пассивацию, а микролегирование титаном оказывает благоприятное влияние на их пассивируемость и питтингостойкость. Высказано предположение, что наблюдаемое влияние хрома и титана на пассивируемость и питтингостойкость низколегированных сталей связано с изменением энергетического состояния поверхности металла.

**Ключевые слова:** сталь, пассивация, питтинг, общая коррозия, химический состав

До последнего времени было принято оценивать эксплуатационные свойства (в том